

# MAC008 - Introdução ao Método dos Elementos Finitos - Lista 1

Antonio José de Medeiros Filho

## 1 Exercício 1

Utilize o método da projeção para determinar a aproximação da função  $f = \text{sen}(z\pi)$  no intervalo  $-2 < x < 2$  utilizando as funções  $1, x^2, x^3, x^4, x^5$ . Considere  $z = 1 + \frac{0.5N}{19}$ . Apresente os gráficos da aproximação junto com a função dada.

### Resolução

[ ]:

## 2 Exercício 2

Dada a função  $f(x) = -1 - \frac{N}{19} \forall -\pi < x < 0$  e  $f(x) = 1 + \frac{N}{19} \forall 0 < x < \pi$  use o método da projeção para determinar as componentes desta função neste intervalo  $-\pi < x < \pi$  na “base” composta pelas funções  $1, \text{sen } kx, \cos kx$  com  $k = 1$  até 5.

### Resolução

[ ]:

## 3 Exercício 3

Dada a barra a esforço axial com secção constante ( $b \times h$ ) engastada e livre com uma carga distribuída dada por  $q$  pede-se calcular o deslocamento em sua extremidade livre utilizando o MEF com aproximações linear e quadrática utilizando, respectivamente, 1 elemento e 5 elementos. Apresente a dedução da matriz do elemento quadrático para este caso. Na solução numérica indique claramente a numeração dos nós e dos elementos utilizados em sua discretização e apresentando a numeração dos nós e dos elementos utilizados em sua discretização e apresentado a matriz global e o campo de deslocamento aproximado comparado com a solução exata do problema. Dados:

- $b = 0,10m$
- $E = 10^8 \cdot T(Pa)$
- $h = 0,5 \cdot T(m)$
- $q(x) = 10 \cdot T(kN/m)$
- $l = 10 \cdot T(m)$

Com  $T = \frac{20-N}{19}$

### 3.1 Resolução

#### 3.1.1 Substituindo $N$

Inicialmente, substituiremos os valores de  $N$  e  $T$ :

$$N = 0 \Rightarrow T = \frac{20}{19}$$

Logo, temos que:

- $b = 0,10m$
- $E = 10^8 \cdot \frac{20}{19}(Pa)$
- $h = 0,5 \cdot \frac{20}{19}(m)$
- $q(x) = 10 \cdot \frac{20}{19}(kN/m)$
- $l = 10 \cdot \frac{20}{19}(m)$

#### 3.1.2 Equação do problema

$$-EA \frac{\partial^2 u(x)}{\partial x^2} = q(x)$$

Onde  $0 < x < L$ ,  $A = bh$  é a área transversal e  $u$  é o vetor deslocamento.

#### 3.1.3 Condições de Contorno

Do enunciado, temos que a barra possui uma extremidade engastada e outra livre, portanto:

$$u(0) = 0$$

#### 3.1.4 Aproximação Linear (1 elemento)

Fazendo uma aproximação linear, temos:

$$u = u_1 \phi_1 + u_2 \phi_2$$

Sendo as funções bases de Lagrange:

$$\phi_1 = 1 - \frac{x}{h}$$

$$\phi_2 = \frac{x}{h}$$

Calculando Matriz de Rigidez para cada elemento

$$K^i = EA \begin{bmatrix} \int_0^h \phi_1' \phi_1' dx & \int_0^h \phi_1' \phi_2' dx \\ \int_0^h \phi_2' \phi_1' dx & \int_0^h \phi_2' \phi_2' dx \end{bmatrix}$$

```
[1]: import sympy as sp
```

```

E, A, q, x, h = sp.symbols('E A q x h')

phi_1 = 1 - x/h
phi_2 = x/h

integral_1 = sp.integrate(sp.diff(phi_1, x) * sp.diff(phi_1, x), (x, 0, h))
integral_2 = sp.integrate(sp.diff(phi_1, x) * sp.diff(phi_2, x), (x, 0, h))
integral_3 = sp.integrate(sp.diff(phi_2, x) * sp.diff(phi_1, x), (x, 0, h))
integral_4 = sp.integrate(sp.diff(phi_2, x) * sp.diff(phi_2, x), (x, 0, h))

K = E * A * sp.Matrix([[integral_1, integral_2], [integral_3, integral_4]])
display(K)

```

$$\begin{bmatrix} \frac{AE}{h} & -\frac{AE}{h} \\ -\frac{AE}{h} & \frac{AE}{h} \end{bmatrix}$$

**Calculando Vetor Fonte por elemento**

$$f^i = \begin{bmatrix} \int_0^h \phi_1 q(x) dx \\ \int_0^h \phi_2 q(x) dx \end{bmatrix}$$

```

[2]: f = sp.symbols('f')

f = sp.Matrix([[sp.integrate(phi_1 * q, (x, 0, h))], [sp.integrate(phi_2 * q,
↪(x, 0, h))]])

display(f)

```

$$\begin{bmatrix} \frac{hq}{2} \\ \frac{hq}{2} \end{bmatrix}$$

**Substituição dos valores**

Para o caso linear, como temos apenas 1 elemento, a Matriz Global de Rigidez e o Vetor Fonte Global serão os mesmos já calculados:

```

[3]: T = 20/19
L = 10 * T
n_elementos = 1

K_lin = K.subs({
    A: 0.1 * 0.5 * T,
    E: (10**8) * T,
    h: L/n_elementos
})

display(K_lin)

```

$$\begin{bmatrix} 526315.789473684 & -526315.789473684 \\ -526315.789473684 & 526315.789473684 \end{bmatrix}$$

```
[4]: f_lin = f.subs({
      h: L/n_elementos,
      q: 10 * T
    })
      display(f_lin)
```

$$\begin{bmatrix} 55.4016620498615 \\ 55.4016620498615 \end{bmatrix}$$

### Aplicando Condições de Contorno de Dirichlet ( $u(0) = 0$ )

Conhecendo o valor em  $u(0)$ , podemos utilizar o método de eliminação:

```
[5]: K_lin[0, 0] = 1.0
      K_lin[0, 1] = 0.0
      K_lin[1, 0] = 0.0
      f_lin[0]   = 0.0
```

### Calculando Vetor de Deslocamentos $u$

```
[6]: u_lin = K_lin.inv() * f_lin
      display(u_lin)
```

$$\begin{bmatrix} 0 \\ 0.000105263157894737 \end{bmatrix}$$

### 3.1.5 Aproximação Quadrática (5 elementos)

Fazendo uma aproximação quadrática, temos que:

$$u = u_1\phi_1 + u_2\phi_2 + u_3\phi_3$$

Sendo as funções bases de Lagrange para este caso:

$$\phi_1 = 1 - \frac{3x}{h} + \frac{2x^2}{h^2}$$

$$\phi_2 = \frac{4x}{h} - \frac{4x^2}{h^2}$$

$$\phi_3 = -\frac{x}{h} + \frac{2x^2}{h^2}$$

### Calculando Matriz de Rigidez para cada elemento

$$K^i = EA \begin{bmatrix} \int_0^h \phi_1' \phi_1' dx & \int_0^h \phi_1' \phi_2' dx & \int_0^h \phi_1' \phi_3' dx \\ \int_0^h \phi_2' \phi_1' dx & \int_0^h \phi_2' \phi_2' dx & \int_0^h \phi_2' \phi_3' dx \\ \int_0^h \phi_3' \phi_1' dx & \int_0^h \phi_3' \phi_2' dx & \int_0^h \phi_3' \phi_3' dx \end{bmatrix}$$

[7]: `E, A, q, x, h = sp.symbols('E A q x h')`

```
phi_1 = 1 - 3*x/h + 2*(x**2)/(h**2)
phi_2 = 4*x/h - 4*(x**2)/(h**2)
phi_3 = -x/h + 2 * (x**2)/(h**2)

integral_1 = sp.integrate(sp.diff(phi_1, x) * sp.diff(phi_1, x), (x, 0, h))
integral_2 = sp.integrate(sp.diff(phi_1, x) * sp.diff(phi_2, x), (x, 0, h))
integral_3 = sp.integrate(sp.diff(phi_1, x) * sp.diff(phi_3, x), (x, 0, h))

integral_4 = sp.integrate(sp.diff(phi_2, x) * sp.diff(phi_1, x), (x, 0, h))
integral_5 = sp.integrate(sp.diff(phi_2, x) * sp.diff(phi_2, x), (x, 0, h))
integral_6 = sp.integrate(sp.diff(phi_2, x) * sp.diff(phi_3, x), (x, 0, h))

integral_7 = sp.integrate(sp.diff(phi_3, x) * sp.diff(phi_1, x), (x, 0, h))
integral_8 = sp.integrate(sp.diff(phi_3, x) * sp.diff(phi_2, x), (x, 0, h))
integral_9 = sp.integrate(sp.diff(phi_3, x) * sp.diff(phi_3, x), (x, 0, h))

K_ = E * A * sp.Matrix([
    [integral_1, integral_2, integral_3],
    [integral_4, integral_5, integral_6],
    [integral_7, integral_8, integral_9]
])
display(K_)
```

$$\begin{bmatrix} \frac{7AE}{3h} & -\frac{8AE}{3h} & \frac{AE}{3h} \\ -\frac{8AE}{3h} & \frac{16AE}{3h} & -\frac{8AE}{3h} \\ \frac{AE}{3h} & -\frac{8AE}{3h} & \frac{7AE}{3h} \end{bmatrix}$$

### Calculando Matriz de Rigidez Global

Para aproximações quadráticas e considerando que serão utilizados 5 elementos, temos que a matriz de rigidez global  $K$  será dada por:

$$K = \begin{bmatrix} K_{11}^1 & K_{12}^1 & K_{13}^1 & 0 & 0 & \cdots & 0 & 0 & 0 \\ K_{21}^1 & K_{22}^1 & K_{23}^1 & 0 & 0 & \cdots & 0 & 0 & 0 \\ K_{31}^1 & K_{32}^1 & K_{33}^1 + K_{11}^2 & K_{12}^2 & K_{13}^2 & \cdots & 0 & 0 & 0 \\ 0 & 0 & K_{21}^2 & K_{22}^2 & K_{23}^2 & \cdots & 0 & 0 & 0 \\ 0 & 0 & K_{31}^2 & K_{32}^2 & K_{33}^2 + K_{11}^3 & \cdots & 0 & 0 & 0 \\ \vdots & \vdots & \vdots & \vdots & \vdots & \ddots & \vdots & \vdots & \vdots \\ 0 & 0 & 0 & 0 & 0 & \cdots & K_{33}^4 + K_{11}^5 & K_{12}^5 & K_{13}^5 \\ 0 & 0 & 0 & 0 & 0 & \cdots & K_{21}^5 & K_{22}^5 & K_{23}^5 \\ 0 & 0 & 0 & 0 & 0 & \cdots & K_{31}^5 & K_{32}^5 & K_{33}^5 \end{bmatrix}$$

```
[8]: n_elements = 5

K_G = sp.zeros(n_elements*2 + 1)

for i in range(n_elements):
    first = i * 2
    last = i * 2 + 3
    K_G[first:last, first:last] += K_

display(K_G.subs({h: L/5}))
```

$$\begin{bmatrix} 1.10833333333333AE & -1.26666666666667AE & 0.15833333333333AE & 0 & 0 \\ -1.26666666666667AE & 2.53333333333333AE & -1.26666666666667AE & 0 & 0 \\ 0.15833333333333AE & -1.26666666666667AE & 2.21666666666667AE & -1.26666666666667AE & 0.15833333333333AE \\ 0 & 0 & -1.26666666666667AE & 2.53333333333333AE & -1.26666666666667AE \\ 0 & 0 & 0.15833333333333AE & -1.26666666666667AE & 2.21666666666667AE \\ 0 & 0 & 0 & 0 & -1.26666666666667AE \\ 0 & 0 & 0 & 0 & 0.15833333333333AE \\ 0 & 0 & 0 & 0 & 0 \\ 0 & 0 & 0 & 0 & 0 \\ 0 & 0 & 0 & 0 & 0 \end{bmatrix}$$

Calculando Vetor Fonte para cada elemento

Temos que:

$$f^i = \begin{bmatrix} \int_0^h \phi_1 q(x) dx \\ \int_0^h \phi_2 q(x) dx \\ \int_0^h \phi_3 q(x) dx \end{bmatrix}$$

```
[9]: f_ = sp.symbols('f')

f_ = sp.Matrix([[sp.integrate(phi_1 * q, (x, 0, h))], [sp.integrate(phi_2 * q, (x, 0, h))], [sp.integrate(phi_3 * q, (x, 0, h))]])

display(f_)
```

$$\begin{bmatrix} \frac{hq}{6} \\ \frac{2hq}{3} \\ \frac{hq}{6} \end{bmatrix}$$

```
[10]: F = sp.zeros(n_elements * 2 + 1, 1)

for i in range(n_elements):
    first = i * 2
    last = i * 2 + 3
```

```
F[first:last, 0] += f_

display(F)
```

$$\begin{bmatrix} \frac{hq}{6} \\ \frac{3}{2hq} \\ \frac{hq}{3} \\ \frac{3}{2hq} \\ \frac{hq}{3} \\ \frac{3}{2hq} \\ \frac{hq}{3} \\ \frac{3}{2hq} \\ \frac{hq}{3} \\ \frac{3}{2hq} \\ \frac{hq}{3} \\ \frac{3}{2hq} \\ \frac{hq}{6} \end{bmatrix}$$

### Aplicando Condições de Contorno

```
[11]: for i in range(n_elements * 2 + 1):
        K_G[0, i] = 0.0
        K_G[i, 0] = 0.0
    K_G[0, 0] = 1.0
    F[0]      = 0.0
```

### Substituindo os valores

```
[12]: K_qua = K_G.subs({
        A: 0.1 * 0.5 * T,
        E: (10**8) * T,
        h: L/n_elements
    })

display(K_G)

f_qua = F.subs({
    h: L/n_elements,
    q: 10 * T
})
display(f_qua)
```

$$\begin{bmatrix} 1.0 & 0 & 0 & 0 & 0 & 0 & 0 & 0 & 0 & 0 & 0 \\ 0 & \frac{16AE}{3h} & -\frac{8AE}{3h} & 0 & 0 & 0 & 0 & 0 & 0 & 0 & 0 \\ 0 & -\frac{8AE}{3h} & \frac{14AE}{3h} & -\frac{8AE}{3h} & \frac{AE}{3h} & 0 & 0 & 0 & 0 & 0 & 0 \\ 0 & 0 & -\frac{8AE}{3h} & \frac{16AE}{3h} & -\frac{8AE}{3h} & 0 & 0 & 0 & 0 & 0 & 0 \\ 0 & 0 & \frac{AE}{3h} & -\frac{8AE}{3h} & \frac{14AE}{3h} & -\frac{8AE}{3h} & \frac{AE}{3h} & 0 & 0 & 0 & 0 \\ 0 & 0 & 0 & 0 & -\frac{8AE}{3h} & \frac{16AE}{3h} & -\frac{8AE}{3h} & 0 & 0 & 0 & 0 \\ 0 & 0 & 0 & 0 & \frac{AE}{3h} & -\frac{8AE}{3h} & \frac{14AE}{3h} & -\frac{8AE}{3h} & \frac{AE}{3h} & 0 & 0 \\ 0 & 0 & 0 & 0 & 0 & 0 & -\frac{8AE}{3h} & \frac{16AE}{3h} & -\frac{8AE}{3h} & 0 & 0 \\ 0 & 0 & 0 & 0 & 0 & 0 & \frac{AE}{3h} & -\frac{8AE}{3h} & \frac{14AE}{3h} & -\frac{8AE}{3h} & \frac{AE}{3h} \\ 0 & 0 & 0 & 0 & 0 & 0 & 0 & 0 & -\frac{8AE}{3h} & \frac{16AE}{3h} & -\frac{8AE}{3h} \\ 0 & 0 & 0 & 0 & 0 & 0 & 0 & 0 & \frac{AE}{3h} & -\frac{8AE}{3h} & \frac{14AE}{3h} \end{bmatrix}$$

$$\begin{bmatrix} 0 \\ 14.7737765466297 \\ 7.38688827331486 \\ 14.7737765466297 \\ 7.38688827331486 \\ 14.7737765466297 \\ 7.38688827331486 \\ 14.7737765466297 \\ 7.38688827331486 \\ 14.7737765466297 \\ 3.69344413665743 \end{bmatrix}$$

Calculando Matriz de Deslocamentos

```
[13]: u_qua = K_qua.inv() * f_qua
display(u_qua)
```

$$\begin{bmatrix} 0 \\ 1.999999999999998 \cdot 10^{-5} \\ 3.7894736842105 \cdot 10^{-5} \\ 5.36842105263153 \cdot 10^{-5} \\ 6.7368421052631 \cdot 10^{-5} \\ 7.89473684210519 \cdot 10^{-5} \\ 8.84210526315781 \cdot 10^{-5} \\ 9.57894736842097 \cdot 10^{-5} \\ 0.000101052631578946 \\ 0.000104210526315789 \\ 0.000105263157894736 \end{bmatrix}$$

### 3.1.6 Resultados

```
[16]: import numpy as np
from matplotlib import pyplot as plt
plt.style.use('ggplot')
```

```
[17]: # funcoes
```



```

def sol_analitica(x, E, A, q, c1, c2):
    return -(1/(E*A)) * ((q * x**2/2) + c1 * x + c2)

L = 10 * T
E = (10 ** 8) * T
A = 0.1 * 0.5 * T
q = 10 * T

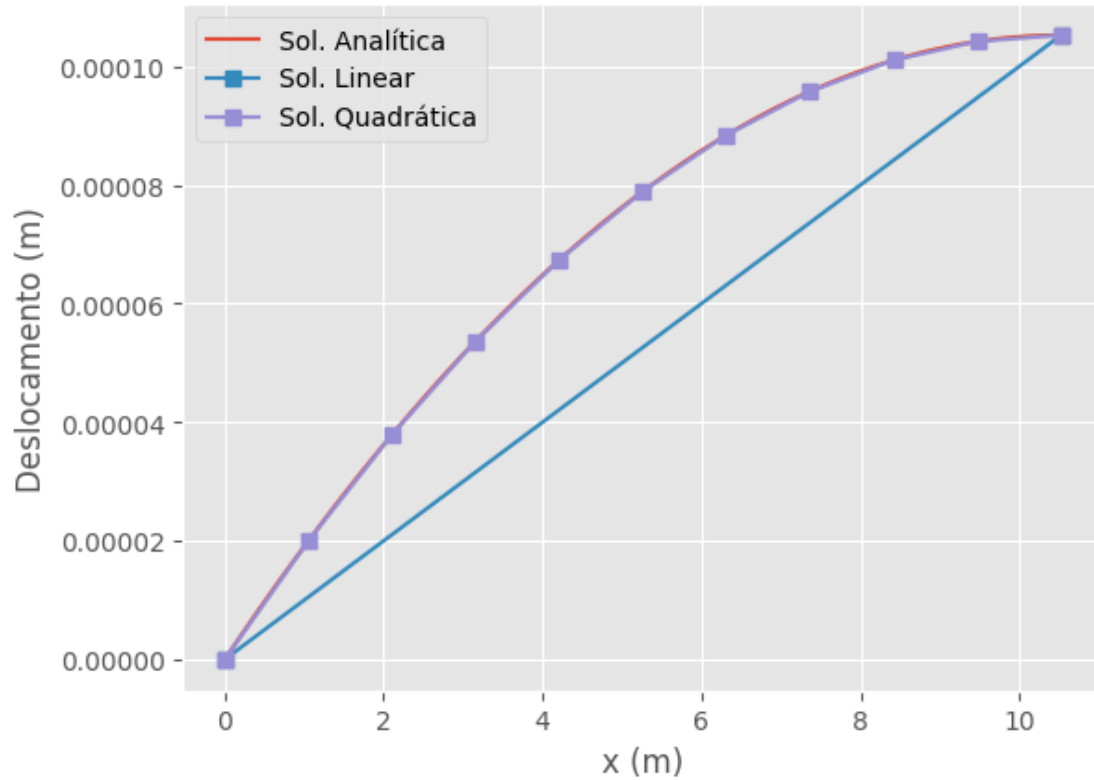
c1 = -1 * q * L
c2 = 0

# dominio
x_analitica = np.linspace(0, L)
y_analitica = sol_analitica(x_analitica, E, A, q, c1, c2)

# resultados
plt.plot(x_analitica, y_analitica, label='Sol. Analítica')
plt.plot([i*L for i in range(2)], u_lin, '-s', label='Sol. Linear')
plt.plot([i*L/10 for i in range(11)], u_qua, '-s', label='Sol. Quadrática')

plt.xlabel('x (m)')
plt.ylabel('Deslocamento (m)')
plt.legend()
plt.show()

```



## 4 Exercício 4

Dada uma barra com uma carga  $P$  aplicada no meio do seu vão, conforme indicado na Figura, pede-se, utilizando elementos finitos lineares, calcular os deslocamentos da mesma adotando-se uma divisão de 2, 4 e 6 elementos lineares. Comparar os campos de deslocamentos obtidos com os deslocamentos exatos para o problema em questão. Considere:

- $EA = 10^5 \cdot (N + 1)$  (Newton)
- $P = (N + 1) \cdot 10^3$  (Newton)
- $l = 2 + \frac{N+1}{20}$  (metro)

### Resolução

#### 4.0.1 Substituindo $N$

Substituindo  $N = 0$ , temos:

- $EA = 10^5$  (Newton)
- $P = 10^3$  (Newton)
- $l = \frac{41}{20}$  (metro)

#### 4.0.2 Equação do problema

$$-EA \frac{\partial^2 u(x)}{\partial x^2} = P \delta \left( x - \frac{L}{2} \right), 0 \leq x \leq L$$

onde  $\delta$  é a função delta de Dirac.

#### 4.0.3 Condições de Contorno

Da figura, temos que  $u(0) = 0$  (condição de Dirichlet).

#### 4.0.4 Aproximação Linear

Neste problema utilizaremos somente a aproximação linear, na forma:

$$u = u_1 \phi_1 + u_2 \phi_2$$

### 4.1 Aproximação com 2 Elementos

#### 4.1.1 Definindo variáveis e calculando $h$

```
[46]: import sympy as sp

EA, P, x, h, K, L = sp.symbols('EA P x h K L')

n_elements = 2
h = L/n_elements
```

#### 4.1.2 Matriz de Rigidez por elemento

Inicialmente, calculamos a matriz de rigidez conforme calculado no exercício anterior:

```
[47]: phi_1 = 1 - x/h
phi_2 = x/h

K = EA * sp.Matrix([
    [sp.integrate(sp.diff(phi_1, x) * sp.diff(phi_1, x), (x, 0, h)), sp.
    ↪ integrate(sp.diff(phi_1, x) * sp.diff(phi_2, x), (x, 0, h))],
    [sp.integrate(sp.diff(phi_2, x) * sp.diff(phi_1, x), (x, 0, h)), sp.
    ↪ integrate(sp.diff(phi_2, x) * sp.diff(phi_2, x), (x, 0, h))]
])
display(K)
```

$$\begin{bmatrix} \frac{2EA}{L} & -\frac{2EA}{L} \\ -\frac{2EA}{L} & \frac{2EA}{L} \end{bmatrix}$$

#### 4.1.3 Matriz de Rigidez Global

Diferentemente da aproximação linear abordada anteriormente, neste caso como temos mais do que apenas 1 elemento, será necessário calcular a Matriz de Rigidez Global conforme:

$$K = \begin{bmatrix} k_{11}^1 & k_{12}^1 & 0 & 0 & \cdots & 0 & 0 \\ k_{21}^1 & k_{22}^1 + k_{11}^2 & k_{12}^2 & 0 & \cdots & 0 & 0 \\ 0 & k_{21}^2 & k_{12}^2 + k_{11}^3 & k_{12}^3 & \cdots & 0 & 0 \\ \vdots & \vdots & \vdots & \vdots & \ddots & \vdots & \vdots \\ 0 & 0 & 0 & 0 & \cdots & k_{21}^e & k_{22}^e \end{bmatrix}$$

onde  $e$  é o número de elementos.

```
[48]: K_G = sp.zeros(n_elements + 1)

for i in range(n_elements):
    K_G[i:i+2, i:i+2] += K

display(K_G)
```

$$\begin{bmatrix} \frac{2EA}{L} & -\frac{2EA}{L} & 0 \\ -\frac{2EA}{L} & \frac{4EA}{L} & -\frac{2EA}{L} \\ 0 & -\frac{2EA}{L} & \frac{2EA}{L} \end{bmatrix}$$

#### 4.1.4 Vetor Fonte Global

```
[49]: def dirac(d):
    if d == L/2:
        return 1
    return 0

F = sp.zeros(n_elements + 1, 1)

for i in range(n_elements):
    F[i, 0] = P * dirac(i*h)

display(F)
```

$$\begin{bmatrix} 0 \\ P \\ 0 \end{bmatrix}$$

#### 4.1.5 Aplicando Condições de Contorno

```
[50]: for i in range(n_elements + 1):
    K_G[0, i] = 0.0
    K_G[i, 0] = 0.0
K_G[0, 0] = 1.0
F[0] = 0.0
display(K_G)
display(F)
```

$$\begin{bmatrix} 1.0 & 0 & 0 \\ 0 & \frac{4EA}{L} & -\frac{2EA}{L} \\ 0 & -\frac{2EA}{L} & \frac{2EA}{L} \end{bmatrix}$$

$$\begin{bmatrix} 0 \\ P \\ 0 \end{bmatrix}$$

#### 4.1.6 Substituindo valores

```
[51]: K2 = K_G.subs({
      EA: 10**5,
      L: 41/20
    })
      display(K2)
```

$$\begin{bmatrix} 1.0 & 0 & 0 \\ 0 & 195121.951219512 & -97560.9756097561 \\ 0 & -97560.9756097561 & 97560.9756097561 \end{bmatrix}$$

```
[52]: F2 = F.subs({
      P: 10**3
    })
      display(F2)
```

$$\begin{bmatrix} 0 \\ 1000 \\ 0 \end{bmatrix}$$

#### 4.1.7 Calculando $u$

```
[53]: u2 = K2.inv() * F2
      display(u2)
```

$$\begin{bmatrix} 0 \\ 0.01025 \\ 0.01025 \end{bmatrix}$$

## 4.2 Aproximação com 4 elementos

Neste caso iremos repetir os mesmos passos porém utilizando 4 elementos:

#### 4.2.1 Calculando $h$

```
[54]: EA, P, x, h, K, L = sp.symbols('EA P x h K L')

      n_elements = 4
      h = L/n_elements
```

### 4.2.2 Matriz de Rigidez por elemento

Inicialmente, calculamos a matriz de rigidez conforme calculado no exercício anterior:

```
[55]: phi_1 = 1 - x/h
      phi_2 = x/h

      K = EA * sp.Matrix([
          [sp.integrate(sp.diff(phi_1, x) * sp.diff(phi_1, x), (x, 0, h)), sp.
            ↪ integrate(sp.diff(phi_1, x) * sp.diff(phi_2, x), (x, 0, h))],
          [sp.integrate(sp.diff(phi_2, x) * sp.diff(phi_1, x), (x, 0, h)), sp.
            ↪ integrate(sp.diff(phi_2, x) * sp.diff(phi_2, x), (x, 0, h))]
      ])
      display(K)
```

$$\begin{bmatrix} \frac{4EA}{L} & -\frac{4EA}{L} \\ -\frac{4EA}{L} & \frac{4EA}{L} \end{bmatrix}$$

### 4.2.3 Matriz de Rigidez Global

Diferentemente da aproximação linear abordada anteriormente, neste caso como temos mais do que apenas 1 elemento, será necessário calcular a Matriz de Rigidez Global conforme:

$$K = \begin{bmatrix} k_{11}^1 & k_{12}^1 & 0 & 0 & \cdots & 0 & 0 \\ k_{21}^1 & k_{22}^1 + k_{11}^2 & k_{12}^2 & 0 & \cdots & 0 & 0 \\ 0 & k_{21}^2 & k_{12}^2 + k_{11}^3 & k_{12}^3 & \cdots & 0 & 0 \\ \vdots & \vdots & \vdots & \vdots & \ddots & \vdots & \vdots \\ 0 & 0 & 0 & 0 & \cdots & k_{21}^e & k_{22}^e \end{bmatrix}$$

onde  $e$  é o número de elementos.

```
[56]: K_G = sp.zeros(n_elements + 1)

      for i in range(n_elements):
          K_G[i:i+2, i:i+2] += K

      display(K_G)
```

$$\begin{bmatrix} \frac{4EA}{L} & -\frac{4EA}{L} & 0 & 0 & 0 \\ -\frac{4EA}{L} & \frac{8EA}{L} & -\frac{4EA}{L} & 0 & 0 \\ 0 & -\frac{4EA}{L} & \frac{8EA}{L} & -\frac{4EA}{L} & 0 \\ 0 & 0 & -\frac{4EA}{L} & \frac{8EA}{L} & -\frac{4EA}{L} \\ 0 & 0 & 0 & -\frac{4EA}{L} & \frac{4EA}{L} \end{bmatrix}$$

### 4.2.4 Vetor Fonte Global

```
[57]: def dirac(d):
      if d == L/2:
          return 1
      return 0
```

```
F = sp.zeros(n_elements + 1, 1)

for i in range(n_elements):
    F[i, 0] = P * dirac(i*h)

display(F)
```

$$\begin{bmatrix} 0 \\ 0 \\ P \\ 0 \\ 0 \end{bmatrix}$$

#### 4.2.5 Aplicando Condições de Contorno

```
[58]: for i in range(n_elements + 1):
        K_G[0, i] = 0.0
        K_G[i, 0] = 0.0
    K_G[0, 0] = 1.0
    F[0] = 0.0
    display(K_G)
    display(F)
```

$$\begin{bmatrix} 1.0 & 0 & 0 & 0 & 0 \\ 0 & \frac{8EA}{L} & -\frac{4EA}{L} & 0 & 0 \\ 0 & -\frac{4EA}{L} & \frac{8EA}{L} & -\frac{4EA}{L} & 0 \\ 0 & 0 & -\frac{4EA}{L} & \frac{8EA}{L} & -\frac{4EA}{L} \\ 0 & 0 & 0 & -\frac{4EA}{L} & \frac{4EA}{L} \end{bmatrix}$$

$$\begin{bmatrix} 0 \\ 0 \\ P \\ 0 \\ 0 \end{bmatrix}$$

#### 4.2.6 Substituindo valores

```
[59]: K4 = K_G.subs({
        EA: 10**5,
        L: 41/20
    })
display(K4)
```

$$\begin{bmatrix} 1.0 & 0 & 0 & 0 & 0 \\ 0 & 390243.902439024 & -195121.951219512 & 0 & 0 \\ 0 & -195121.951219512 & 390243.902439024 & -195121.951219512 & 0 \\ 0 & 0 & -195121.951219512 & 390243.902439024 & -195121.951219512 \\ 0 & 0 & 0 & -195121.951219512 & 195121.951219512 \end{bmatrix}$$

```
[60]: F4 = F.subs({
      P: 10**3
    })
      display(F4)
```

$$\begin{bmatrix} 0 \\ 0 \\ 1000 \\ 0 \\ 0 \end{bmatrix}$$

#### 4.2.7 Calculando $u$

```
[61]: u4 = K4.inv() * F4
      display(u4)
```

$$\begin{bmatrix} 0 \\ 0.005125 \\ 0.01025 \\ 0.01025 \\ 0.01025 \end{bmatrix}$$

```
[ ]:
```

### 4.3 Aproximação com 6 elementos

#### 4.3.1 Calculando $h$

```
[62]: EA, P, x, h, K, L = sp.symbols('EA P x h K L')

      n_elements = 6
      h = L/n_elements
```

#### 4.3.2 Matriz de Rigidez por elemento

Inicialmente, calculamos a matriz de rigidez conforme calculado no exercício anterior:

```
[63]: phi_1 = 1 - x/h
      phi_2 = x/h

      K = EA * sp.Matrix([
          [sp.integrate(sp.diff(phi_1, x) * sp.diff(phi_1, x), (x, 0, h)), sp.
            ↪integrate(sp.diff(phi_1, x) * sp.diff(phi_2, x), (x, 0, h))],
          [sp.integrate(sp.diff(phi_2, x) * sp.diff(phi_1, x), (x, 0, h)), sp.
            ↪integrate(sp.diff(phi_2, x) * sp.diff(phi_2, x), (x, 0, h))]
      ])
      display(K)
```



$$\begin{bmatrix} \frac{6EA}{L} & -\frac{6EA}{L} \\ -\frac{6EA}{L} & \frac{6EA}{L} \end{bmatrix}$$

### 4.3.3 Matriz de Rigidez Global

Diferentemente da aproximação linear abordada anteriormente, neste caso como temos mais do que apenas 1 elemento, será necessário calcular a Matriz de Rigidez Global conforme:

$$K = \begin{bmatrix} k_{11}^1 & k_{12}^1 & 0 & 0 & \cdots & 0 & 0 \\ k_{21}^1 & k_{22}^1 + k_{11}^2 & k_{12}^2 & 0 & \cdots & 0 & 0 \\ 0 & k_{21}^2 & k_{12}^2 + k_{11}^3 & k_{12}^3 & \cdots & 0 & 0 \\ \vdots & \vdots & \vdots & \vdots & \ddots & \vdots & \vdots \\ 0 & 0 & 0 & 0 & \cdots & k_{21}^e & k_{22}^e \end{bmatrix}$$

onde  $e$  é o número de elementos.

```
[64]: K_G = sp.zeros(n_elements + 1)

for i in range(n_elements):
    K_G[i:i+2, i:i+2] += K

display(K_G)
```

$$\begin{bmatrix} \frac{6EA}{L} & -\frac{6EA}{L} & 0 & 0 & 0 & 0 & 0 \\ -\frac{6EA}{L} & \frac{12EA}{L} & -\frac{6EA}{L} & 0 & 0 & 0 & 0 \\ 0 & -\frac{6EA}{L} & \frac{12EA}{L} & -\frac{6EA}{L} & 0 & 0 & 0 \\ 0 & 0 & -\frac{6EA}{L} & \frac{12EA}{L} & -\frac{6EA}{L} & 0 & 0 \\ 0 & 0 & 0 & -\frac{6EA}{L} & \frac{12EA}{L} & -\frac{6EA}{L} & 0 \\ 0 & 0 & 0 & 0 & -\frac{6EA}{L} & \frac{12EA}{L} & -\frac{6EA}{L} \\ 0 & 0 & 0 & 0 & 0 & -\frac{6EA}{L} & \frac{6EA}{L} \end{bmatrix}$$

### 4.3.4 Vetor Fonte Global

```
[65]: def dirac(d):
    if d == L/2:
        return 1
    return 0

F = sp.zeros(n_elements + 1, 1)

for i in range(n_elements):
    F[i, 0] = P * dirac(i*h)

display(F)
```

$$\begin{bmatrix} 0 \\ 0 \\ 0 \\ P \\ 0 \\ 0 \\ 0 \end{bmatrix}$$

### 4.3.5 Aplicando Condições de Contorno

```
[66]: for i in range(n_elements + 1):
        K_G[0, i] = 0.0
        K_G[i, 0] = 0.0
    K_G[0, 0] = 1.0
    F[0] = 0.0
    display(K_G)
    display(F)
```

$$\begin{bmatrix} 1.0 & 0 & 0 & 0 & 0 & 0 & 0 \\ 0 & \frac{12EA}{L} & -\frac{6EA}{L} & 0 & 0 & 0 & 0 \\ 0 & -\frac{6EA}{L} & \frac{12EA}{L} & -\frac{6EA}{L} & 0 & 0 & 0 \\ 0 & 0 & -\frac{6EA}{L} & \frac{12EA}{L} & -\frac{6EA}{L} & 0 & 0 \\ 0 & 0 & 0 & -\frac{6EA}{L} & \frac{12EA}{L} & -\frac{6EA}{L} & 0 \\ 0 & 0 & 0 & 0 & -\frac{6EA}{L} & \frac{12EA}{L} & -\frac{6EA}{L} \\ 0 & 0 & 0 & 0 & 0 & -\frac{6EA}{L} & \frac{6EA}{L} \end{bmatrix}$$

$$\begin{bmatrix} 0 \\ 0 \\ 0 \\ P \\ 0 \\ 0 \\ 0 \end{bmatrix}$$

### 4.3.6 Substituindo valores

```
[67]: K6 = K_G.subs({
        EA: 10**5,
        L: 41/20
    })
    display(K6)
```

$$\begin{bmatrix} 1.0 & 0 & 0 & 0 & 0 & 0 \\ 0 & 585365.853658537 & -292682.926829268 & 0 & 0 & 0 \\ 0 & -292682.926829268 & 585365.853658537 & -292682.926829268 & 0 & 0 \\ 0 & 0 & -292682.926829268 & 585365.853658537 & -292682.926829268 & 0 \\ 0 & 0 & 0 & -292682.926829268 & 585365.853658537 & -292682.926829268 \\ 0 & 0 & 0 & 0 & -292682.926829268 & 585365.853658537 \\ 0 & 0 & 0 & 0 & 0 & -292682.926829268 \end{bmatrix}$$

```
[68]: F6 = F.subs({
      P: 10**3
    })
      display(F6)
```

$$\begin{bmatrix} 0 \\ 0 \\ 0 \\ 1000 \\ 0 \\ 0 \\ 0 \end{bmatrix}$$

#### 4.3.7 Calculando $u$

```
[69]: u6 = K6.inv() * F6
      display(u6)
```

$$\begin{bmatrix} 0 \\ 0.003416666666666667 \\ 0.006833333333333333 \\ 0.01025 \\ 0.01025 \\ 0.01025 \\ 0.01025 \end{bmatrix}$$

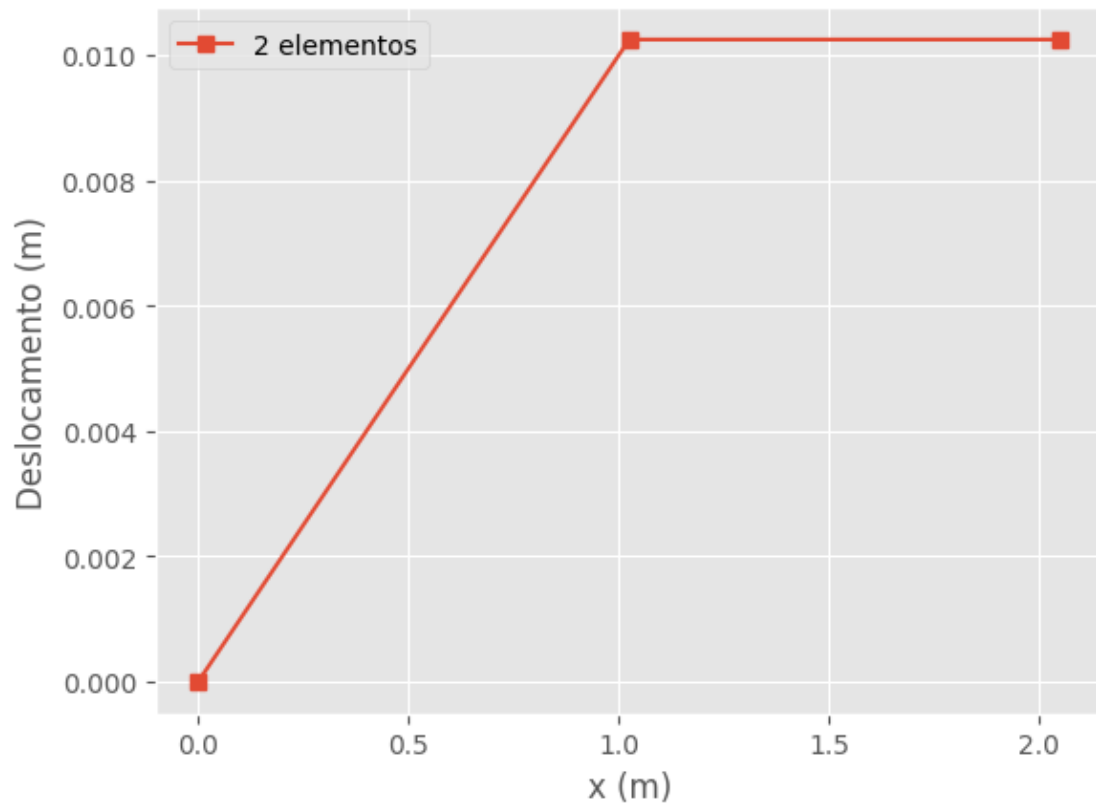
### 4.4 Resultados

```
[74]: from matplotlib import pyplot as plt
      plt.style.use('ggplot')
      L = 41/20
```

#### 4.4.1 2 elementos

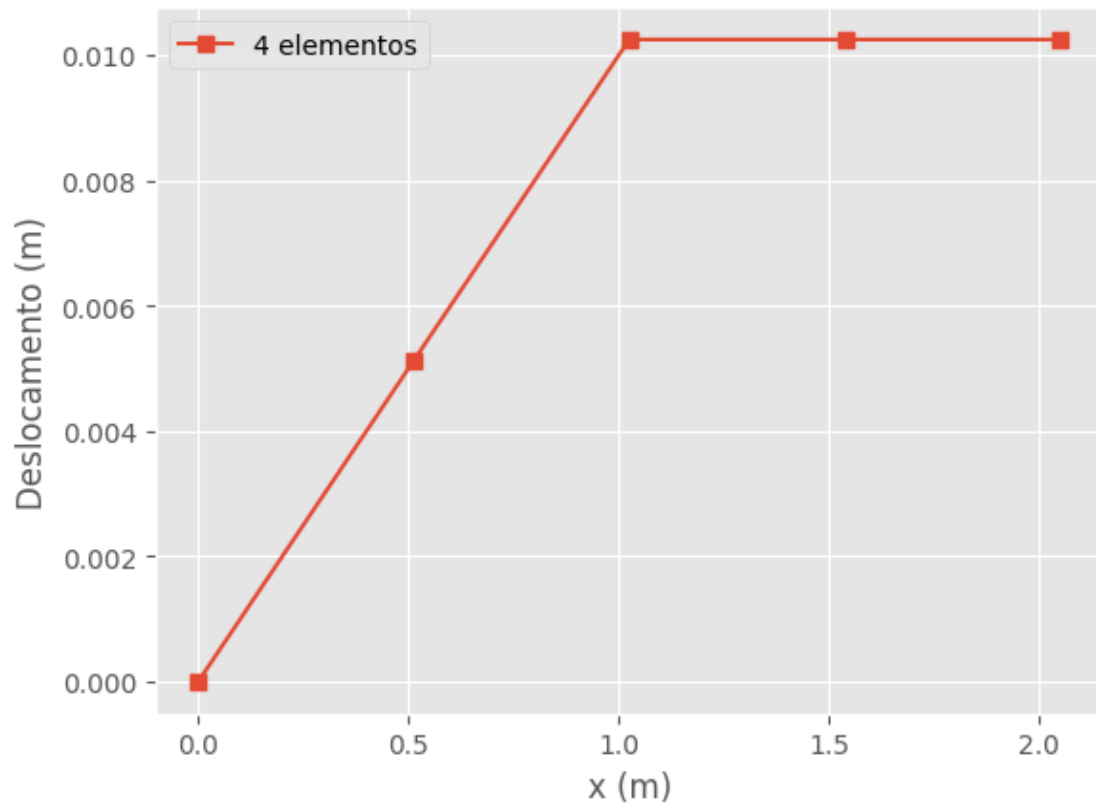
```
[77]: plt.plot([i*L/2 for i in range(3)], u2, '-s', label='2 elementos')

      plt.xlabel('x (m)')
      plt.ylabel('Deslocamento (m)')
      plt.legend()
      plt.show()
```



#### 4.4.2 4 elementos

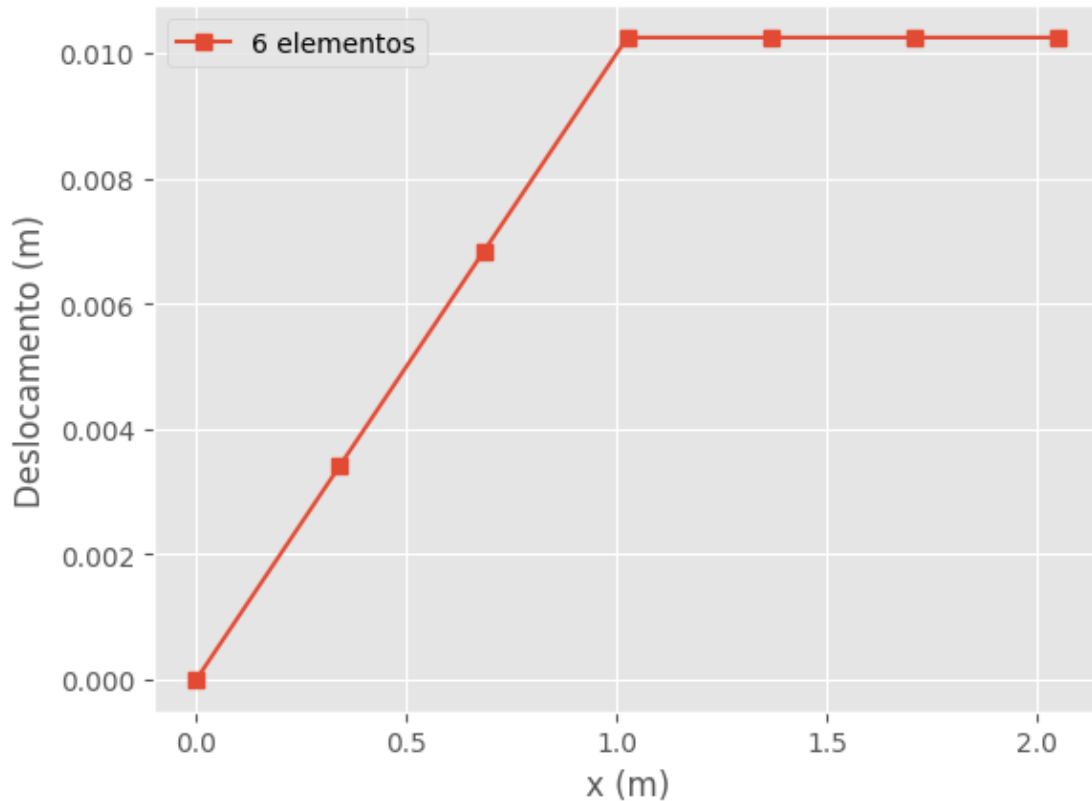
```
[76]: plt.plot([i*L/4 for i in range(5)], u4, '-s', label='4 elementos')  
  
plt.xlabel('x (m)')  
plt.ylabel('Deslocamento (m)')  
plt.legend()  
plt.show()
```



#### 4.4.3 6 elementos

```
[75]: plt.plot([i*L/6 for i in range(7)], u6, '-s', label='6 elementos')

plt.xlabel('x (m)')
plt.ylabel('Deslocamento (m)')
plt.legend()
plt.show()
```



## 5 Exercício 5

Considerando a barra do exercício anterior com a carga  $P$  aplicada na sua extremidade livre, com  $EA$  igual a deste exercício, utilizando-se uma divisão com 7 elementos finitos com aproximações lineares, cada um com um comprimento diferente denominados por  $h_1$  a  $h_7$ , sendo  $h_1 = \frac{l}{10}$  e  $h_i = h_1 + \frac{i \cdot l}{70}$  para  $i = 2$  a 7 pede-se montar a matriz de rigidez global para a numeração conforme indicado abaixo. Cada aluno deve adotar uma numeração dos nós dependente do valor de  $N$ , associado conforme a tabela fornecida em função do seu número de ordem na lista de chamada. Determine também a matriz de rigidez para uma numeração sequencial dos nós da malha.

- 1 - Apresente as matrizes de cada elemento para o valor de  $N$  associado ao seu caso.
- 2 - Apresente a matriz de conectividade adotada para a numeração escolhida
- 3 - Apresente as matrizes globais resultante da composição das matrizes individuais
- 4 - Apresente a solução obtida e compare graficamente com a solução exata do problema

### 5.1 Resolução

#### 5.1.1 Equação do Problema

Temos que o problema é descrito pela equação:

$$EA \frac{d^2 u(x)}{dx^2} = P\delta(x - a), 0 \leq x \leq L$$

onde  $a = L$ .

### 5.1.2 Numeração dos nós

A numeração para  $N = 0$  será:

$$[1 \quad 3 \quad 5 \quad 7 \quad 2 \quad 6 \quad 4]$$

### 5.1.3 Cálculo dos comprimentos dos elementos

Consideraremos o parâmetro  $l = 20$  para o cálculo do tamanho dos elementos:

```
[5]: import sympy as sp

h1, h2, h3, h4, h5, h6, h7 = sp.symbols('h_1 h_2 h_3 h_4 h_5 h_6 h_7')

l = 20

hi = [h1, h2, h3, h4, h5, h6, h7]
h = [l/10]
display(sp.Eq(hi[0], h[0]))

for i in range(1,7):
    h.append(h[0] + (i*l)/70)
    display(sp.Eq(hi[i], h[i]))
```

$$h_1 = 2.0$$

$$h_2 = 2.28571428571429$$

$$h_3 = 2.57142857142857$$

$$h_4 = 2.85714285714286$$

$$h_5 = 3.14285714285714$$

$$h_6 = 3.42857142857143$$

$$h_7 = 3.71428571428571$$

### 5.1.4 Matrizes de cada elemento

```
[ ]:
```

5.1.5 Matriz de conectividade

5.1.6 Matrizes globais

5.2 Resultados

[ ]: